

УДК 538.945

©1995

# ТРАНСПОРТНЫЕ СВОЙСТВА И ЗОННЫЙ СПЕКТР ВТСП ВИСМУТОВОЙ СИСТЕМЫ

*Н.В.Агееев, В.Э.Гасумянц, В.И.Кайданов*

Санкт-Петербургский государственный технический университет,  
195251, Санкт-Петербург, Россия

(Поступила в Редакцию 1 августа 1994 г.

В окончательной редакции 11 января 1995 г.)

Иследованы температурные зависимости удельного сопротивления, коэффициентов термоэдс и Холла в однофазных образцах ВТСП-керамик фаз Bi-2212 и Bi-2223. Рассмотрено влияние на трансформацию этих зависимостей частичной замены кальция в фазе Bi-2212 иттрием и неодимом. Показано, что увеличение уровня легирования приводит к тому, что температурные зависимости всех трех кинетических коэффициентов становятся подобными наблюдаемым для иттриевых ВТСП. Продемонстрирована возможность интерпретации экспериментальных данных в рамках модели узкой проводящей зоны с учетом незначительной асимметрии последней. Проведенный анализ свидетельствует о том, что основные параметры зонного спектра и особенности его трансформации при отклонениях от стехиометрических составов, а также связь этих параметров со сверхпроводящими свойствами в ВТСП-материалах висмутовой и иттриевой систем аналогичны.

Несмотря на обилие публикаций, в настоящее время трудно сказать что-либо определенное о зонной структуре в окрестности уровня Ферми в ВТСП висмутовой системы. Комплексное экспериментальное исследование транспортных явлений — один из наиболее доступных и в то же время достаточно информативных методов изучения зонной структуры. Информация, извлекаемая из таких исследований, как показывает опыт работы с полупроводниками и полуметаллами со сложным электронным спектром, становится более детальной и однозначной, если удается выразировать в широких пределах положение уровня Ферми, что обычно достигается с помощью электроактивного легирования.

Изучению необычных особенностей температурных зависимостей транспортных коэффициентов в высокотемпературных сверхпроводниках, в частности в ВТСП висмутовой системы, посвящено большое число работ. Анализ экспериментальных данных показывает, что поведение удельного сопротивления  $\rho$  и коэффициента Холла  $R_H$  в этой системе характеризуется теми же основными особенностями, что и в ВТСП-материалах других классов, в том числе и в наиболее изученных иттриевых сверхпроводниках (см., например, [1-3]). В то же время температурные зависимости коэффициента термоэдс  $S$  обладают рядом новых по сравнению с системой Y-Ba-Cu-O особенностей [4,5]. Как

показал наш опыт изучения транспортных свойств ВТСП иттриевой системы, для их описания и объяснения может успешно применяться модель, предполагающая наличие в зонном спектре узкой разрешенной зоны, ответственной за сверхпроводимость и свойства нормальной фазы [6]. Отметим, что аналогичное предположение в различных аспектах привлекалось и рядом других авторов для качественного объяснения как транспортных свойств (см., например, [7–11]), так и результатов некоторых других экспериментов (данных по аннигиляции позитронов [12], температурной зависимости времени спин-решеточной релаксации ядер меди [13], рентгеновской фотоэмиссионной спектроскопии [14,15], термодинамика окисления  $\text{YBa}_2\text{Cu}_3\text{O}_y$  [16] и др.). На существование узкой зоны вблизи уровня Ферми указывает и ряд теоретических расчетов, проведенных с учетом сильных кулоновских корреляций, спиновых флуктуаций и гибридизации зон, характерных для ВТСП-материалов (см., например, [17–19]). Оценки ширины проводящей зоны, приводимые в перечисленных работах, дают от значения 0.05 до 0.5 eV.

Используемый нами подход выгодно отличается возможностью не только качественного, но и количественного анализа и позволяет из сравнения экспериментальных и расчетных зависимостей  $S(T)$  получить информацию о значениях параметров зонного спектра в образцах различного состава. Анализ на основе нашей модели транспортных свойств ВТСП системы Y–Ba–Cu–O позволил проследить за трансформацией зонного спектра при варьировании состава (увеличении дефицита кислорода [6], легирований 3d-металлами [20], частичной заменой бария [21]), а также обнаружить существование корреляции между его параметрами и сверхпроводящими свойствами данного соединения.

Представляет интерес изучение вопроса о возможности применения модели узкой зоны к другим классам ВТСП, в частности висмутовой системе. Однотипность кристаллической структуры и подобие электрофизических свойств иттриевых и висмутовых ВТСП дают основание полагать, что они обладают сходной структурой зонного спектра и в обоих случаях свойства в нормальной фазе определяются переносом по узкой разрешенной зоне. Основные цели данной работы — подтвердить правомерность этого предположения, исследовать строение и характер трансформации зонного спектра в ВТСП висмутовой системы и выявить его общие с  $\text{YBa}_2\text{Cu}_3\text{O}_y$  особенности.

## 1. Образцы и методика

В качестве основного объекта исследования мы выбрали фазу Bi-2212. Ее более высокая стабильность (по сравнению с фазой Bi-2223) позволяет осуществлять достаточно глубокое гетерогенное легирование, сохраняя при этом однофазность образцов. Кроме того, согласно литературным данным (см., например, [22,23]), частичная замена Ca в Bi-2212 трехвалентными ионами редкоземельных элементов приводит к постепенному подавлению сверхпроводящих свойств. Это дает основание полагать, что исследуя такие образцы, можно проследить за трансформацией зонного спектра данного соединения.

В данной работе были исследованы две серии образцов состава  $\text{Bi}_2\text{Sr}_2\text{Ca}_{1-x}\text{M}_x\text{Cu}_2\text{O}_y$  ( $\text{M}=\text{Nd}, \text{Y}$ ) с  $x = 0.0 \div 0.5$ , а также однофазные нелегированные образцы  $\text{Bi}(\text{Pb})-\text{Ca}-\text{Sr}-\text{Cu}-\text{O}$  фаз 2212 и 2223. Образцы приготавливались по стандартной металлокерамической технологии из оксидов висмута, свинца и меди, а также карбонатов остальных металлических компонентов, смешиваемых в соответствующих пропорциях. После прокаливания исходных веществ, спекания при  $T = 750^\circ\text{C}$  и прессования в таблетки проводилось несколько (3–4) отжигов при  $T = 850 \div 860^\circ\text{C}$  с промежуточными переломами. С целью проверки качества полученных образцов был проведен рентгенофазовый анализ, а также измерения (помимо кинетических коэффициентов) температурных зависимостей магнитной восприимчивости. Полученные данные позволили отобрать для дальнейших исследований однофазные образцы.

Измерения температурных зависимостей кинетических коэффициентов (удельного сопротивления, коэффициентов термоэдс и Холла) проводились в диапазоне  $T = T_c - 300 \text{ K}$  по методике, изложенной в [20].

## 2. Экспериментальные результаты

Составы (по соотношению металлических компонентов  $(\text{Bi:Pb}):(\text{Sr:Ca:Cu})$  при закладке) и некоторые результаты электрофизических измерений на однофазных образцах фаз  $\text{Bi}-2212$  и  $\text{Bi}-2223$  приведены в табл. 1. Дополнительный отжиг образцов проводился с целью получения большего количества данных для последующего анализа.

Таблица 1  
Состав по закладке и результаты электрофизических измерений образцов  $\text{Bi}(\text{Pb})-\text{Sr}-\text{Ca}-\text{Cu}-\text{O}$

Номер образца	Соотношение металлических компонентов	Фаза	$T_c^m$ , K	$T_c^\circ$ , K	$\Delta T$ , K	$\rho_{300K}$ , $m\Omega \cdot \text{cm}$	$S_{300K}$ , $\mu\text{V} \cdot \text{K}^{-1}$
1	(1.34:0.66):2:1:2	2212	72.2	71.2	3.5	2.0	-2.8
2	(1.86:0.14):2:1:2	2212	65.0	61.0	5.5	0.83	-5.3
3	(2.00):2:1:2	2212	61.0	60.0	4.0	1.9	-3.8
4	(1.80:0.20):2:1:2	2212	60.7	56.3	7.2	1.3	-5.5
5	(1.34:0.66):2:2:3	2223	108.9	99.0	7.6	1.7	1.9
6	(1.60:0.40):2:2:3	2223	108.0	103.5	6.0	2.2	1.7
7	(1.60:0.40):2:2:3	2223	108.0	103.0	6.2	1.8	0.9
8	(1.60:0.40):2:2:3	2223	106.0	101.0	8.1	1.0	3.6
1*		2212	72.0	70.8	4.0	2.0	-2.7
2*	Получены путем	2212	65.5	60.0	6.0	1.0	-6.0
3*	отжига при $T = 500^\circ\text{C}$	2212	60.5	58.0	4.5	2.0	-6.0
4*	в течение 5 часов	2212	61.0	57.5	6.0	1.2	-4.0
5*	в потоке кислорода	2223	108.0	99.5	6.5	1.5	1.6
6*	из образцов № 1–8	2223	106.0	100.5	7.0	2.5	1.2
7*	соответственно	2223	106.0	101.5	5.0	0.7	0.4
8*		2223	107.0	102.0	6.0	2.1	3.8

Таблица 2

Значения кинетических коэффициентов и критической температуры в образцах  $\text{Bi}_2\text{Sr}_2\text{Ca}_{1-x}\text{M}_x\text{Cu}_2\text{O}_y$

$x$	$\rho_{300K}$ , $\text{m}\Omega \cdot \text{cm}$	$S_{300K}$ , $\mu\text{V}/\text{K}$	$R_{300K}$ , $10^{-3} \text{ cm}^3/\text{C}$	$T_c^m$ , К	$T_c^o$ , К
<b>M=Nd</b>					
0.0	2.5	-3.8	1.6	84.2	74.2
0.1	2.6	-2.0	2.5	83.3	73.3
0.2	2.9	3.9	3.9	82.0	71.2
0.3	3.5	7.9	6.5	80.2	67.0
0.4	5.5	18.2	8.8	68.6	54.4
0.5	11.7	27.5	11.2	42.4	29.0
<b>M=Y</b>					
0.1	3.1	-3.5	2.8	78.9	66.9
0.2	3.8	3.1	4.2	76.2	64.2
0.3	5.3	12.6	6.5	70.5	53.3
0.4	7.7	28.0	10.1	53.1	34.3
0.5	12.5	40.3	12.8	31.5	12.2

Видно, что в пределах одной фазы значения транспортных коэффициентов различаются незначительно. При этом обращают на себя внимание малая абсолютная величина коэффициента термоэдс и его разный знак для различных фаз ВТСП висмутовой системы. Отметим, что этот факт хорошо согласуется с литературными данными (см., например, [4,5]). Что касается коэффициента Холла, то его температурные зависимости были измерены только на некоторых из приведенных в табл. 1 образцах. Значения  $R_H(300 \text{ K})$  для разных образцов также различаются достаточно слабо и составляют величину  $(1-3) \cdot 10^{-3} \text{ cm}^3/\text{C}$ . Данные по образцам с частичной заменой Са приведены в табл. 2. Рост содержания легирующей примеси ведет, как и ожидалось, к падению критической температуры  $T_c$ , расширению сверхпроводящего перехода, а также существенному возрастанию абсолютных значений  $\rho$ ,  $S$  и  $R_H$  для обеих исследованных серий образцов. При этом количественные различия во влиянии Nd и Y незначительны. Температурные зависимости кинетических коэффициентов в нормальной фазе имеют характерные для ВТСП-материалов особенности. Зависимости  $\rho(T)$  для всех исследованных образцов демонстрируют известное линейное падение с уменьшением температуры,  $R_H$  при этом растет, хотя и слабее, чем в случае  $\text{YBa}_2\text{Cu}_3\text{O}_y$ .

Наибольший интерес для исследований представляет, по нашему мнению, коэффициент термоэдс. Это определяется рядом обстоятельств. Во-первых, значение  $S$  в наименьшей степени подвержено влиянию несовершенства керамических образцов. На мелкоразмерных дефектах (в том числе межзеренных границах) практически не создается перепада температуры, благодаря чему их наличие практически не влияет на измеряемую величину  $S$ . В результате коэффициент термоэдс в наибольшей степени отражает свойства исследуемо-

го материала, а не конкретного образца с его дефектной структурой. Во-вторых, вследствие большой анизотропии удельного сопротивления в ВТСП-материалах измеряемое на керамических образцах значение  $S$  практически полностью определяется переносом в плоскости  $ab$ . Как показывают теоретические оценки [24, 25] и практические измерения на образцах  $\text{YBa}_2\text{Cu}_3\text{O}_y$  [26], при одинаковом составе  $S(T)$  для керамики полностью соответствует  $S(T)$  в плоскости  $ab$  для совершенных пленок и монокристаллов. Это позволяет рассматривать данные, полученные на керамических образцах, как характерные для материала данного состава и использовать их для выявления особенностей электронного транспорта и строения зонного спектра. В-третьих, используемая нами модель зонного спектра именно для коэффициента термоэдс позволяет получить расчетные данные с точностью до абсолютных значений, что дает возможность по экспериментальным зависимостям  $S(T)$  определять параметры зонного спектра исследуемых образцов [6]. И, наконец, коэффициент термоэдс — единственный из рассматриваемых кинетических коэффициентов, температурные зависимости которого для висмутовых ВТСП обладают дополнительными по сравнению с  $\text{YBa}_2\text{Cu}_3\text{O}_y$  особенностями.

Типичные температурные зависимости коэффициента термоэдс для нелегированных однофазных образцов фаз 2212 и 2223 показаны на рис. 1. Главная их отличительная особенность — протяженный участок практически линейного падения коэффициента термоэдс с ростом температуры. При этом другая важная особенность  $S(T)$  в  $\text{YBa}_2\text{Cu}_3\text{O}_y$  — наличие выраженного максимума при температуре выше сверхпроводящего перехода — сохраняется и в висмутовых ВТСП. Особенно отчетливо это проявляется в легированных образцах: с ростом  $x$  в  $\text{Bi}_2\text{Sr}_2\text{Ca}_{1-x}\text{M}_x\text{Cu}_2\text{O}_y$  максимум на  $S(T)$  становится более ярко выраженным, смешаясь при этом в область более высоких температур (рис. 2). Кроме того, в обеих легированных сериях изменение состава приводит к существенной трансформации характера кривых  $S(T)$ . При малых  $x$  ( $0.0 \leq x \leq 0.2$ ) наблюдаются типичные для фазы 2212 зависимости ( $S$  мал по абсолютной величине и линейно зависит от температуры), при увеличении уровня легирования линейность  $S(T)$  постепенно пропадает, и, начиная с  $x = 0.3$ , кривые становятся каче-

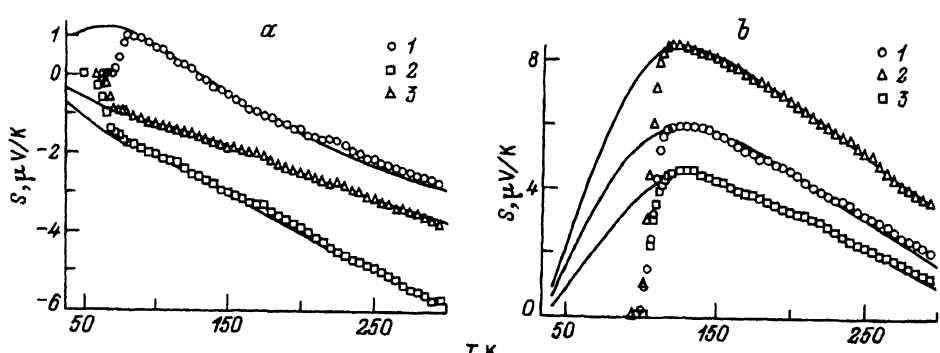


Рис. 1. Температурные зависимости коэффициента термоэдс для образцов  $\text{Bi}(\text{Pb})\text{-Sr-Ca-Cu-O}$ : сим  $a$  — фаза Bi-2212, номера образцов: 1 — 1, 2 — 3\*, 3 — 4\*,  $b$  — фаза Bi-2223, номера образцов: 1 — 5, 2 — 8, 3 — 8\*; сплошные линии — расчет по модели узкой зоны.

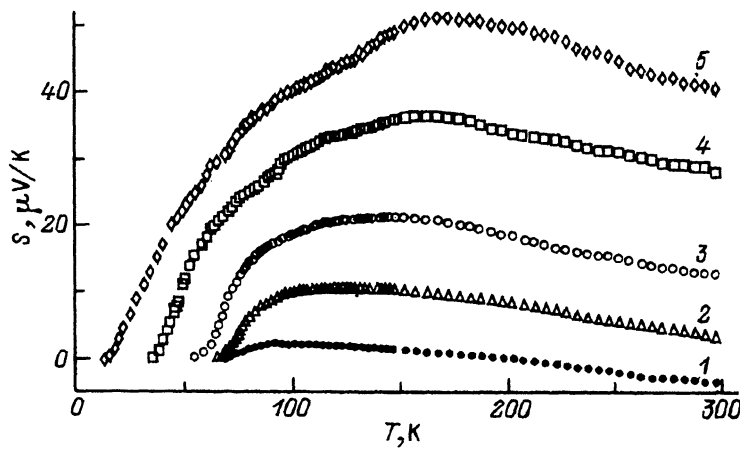


Рис. 2. Температурные зависимости коэффициента термоэдс для образцов  $\text{Bi}_2\text{Sr}_2\text{Ca}_{1-x}\text{Y}_x\text{Cu}_2\text{O}_y$ .  
 $x$ : 1 — 0.1, 2 — 0.2, 3 — 0.3, 4 — 0.4, 5 — 0.5.

ственными подобными наблюдаемым в иттриевой системе. Отметим, что на аналогичное поведение  $S(T)$  при увеличении  $x$  в монокристаллах  $\text{Bi}_2\text{Sr}_2\text{Ca}_{1-x}\text{Y}_x\text{Cu}_2\text{O}_y$  указывается в [27]. Таким образом, температурные зависимости кинетических коэффициентов в ВТСП висмутовой и иттриевой систем аналогичны, за исключением коэффициента термоэдс при близких к стехиометрическим составах фаз 2212 и 2223. Это дает основание считать, что используемая нами для описания и объяснения особенностей электронного транспорта в  $\text{YBa}_2\text{Cu}_3\text{O}_y$  модель узкой зоны может быть применена и к висмутовой системе. Дополнительные особенности зависимостей  $S(T)$ , проявляющиеся при малых абсолютных значениях  $S$  (300 К), могут быть связаны с более мелкими деталями строения зонного спектра, которые необходимо учитывать при количественном согласовании экспериментальных и расчетных данных. Отметим, что наличие дополнительных особенностей на кривых  $S(T)$  при малых  $S$  (300 К) характерно и для образцов  $\text{YBa}_2\text{Cu}_3\text{O}_y$ , близких к стехиометрическому составу, и связывалось нами ранее с возможной незначительной асимметрией проводящей зоны [6]. Для объяснения данных, полученных для висмутовых ВТСП, мы также используем представление об асимметричной узкой зоне. Дополнения, вносимые при этом в модель, и результаты расчетов описываются в следующем разделе.

### 3. Обсуждение экспериментальных результатов

Основное положение модели узкой зоны — наличие в зонном спектре ВТСП-материалов узкого пика плотности электронных состояний (ширины порядка  $10^{-1}$  eV), в результате чего значительная доля носителей заряда, находящихся в области этого пика, вносит вклад в процессы переноса. Как показано в [6], в этом случае основные особенности поведения кинетических коэффициентов можно проследить, задавшись простейшей аппроксимацией функций плотности состояний  $D(E)$  и дифференциальной проводимости  $\sigma(E)$  в виде прямоугольников

различной ширины. В такой модели для коэффициента термоэдс удается получить аналитическое выражение (с точностью до абсолютных значений в отличие от  $\rho$  и  $R_H$ ) вида

$$S = -\frac{k_0}{e} \left\{ \frac{W_\sigma^*}{\operatorname{sh} W_\sigma^*} \left[ e^{-\mu^*} + \operatorname{ch} W_\sigma^* - 1/W_\sigma^* (\operatorname{ch} \mu^* + \operatorname{ch} W_\sigma^*) \times \ln \frac{e^\mu^* + e^{W_\sigma^*}}{e^{\mu^*} + e^{-W_\sigma^*}} \right] - \mu^* \right\},$$

где

$$\mu^* \equiv \mu/k_0 T = \ln \frac{\operatorname{sh}(FW_D^*)}{\operatorname{sh}((1-F)W_D^*)},$$

$\mu$  — химический потенциал,  $W_D^* \equiv W_D/k_0 T$ ,  $W_\sigma^* \equiv W_\sigma/k_0 T$ ,  $W_D$  — полная эффективная ширина зоны (ширина прямоугольника  $D(E)$ ),  $W_\sigma$  — эффективная ширина интервала проводящих или делокализованных состояний (ширина прямоугольника  $\sigma(E)$ ),  $F$  — степень заполнения зоны электронами. В результате с помощью трех модельных параметров ( $F$ ,  $W_D$  и  $W_\sigma$ ) нам удалось количественно описать все особенности кривых  $S(T)$  в  $\text{YBa}_2\text{Cu}_3\text{O}_y$  различного состава [6, 20, 21]. Отметим, что  $W_D$  и  $W_\sigma$  — именно эффективные ширины зоны и интервала проводящих состояний. Различие между ними может быть связано с разным характером зависимостей функций  $D(E)$  и  $\sigma(E)$ , обусловленным, в частности, энергетической зависимостью времени релаксации. В то же время анализ обнаруженных основных тенденций в изменениях значений  $W_D$  и  $W_\sigma$  при отклонениях от стехиометрического состава  $\text{YBa}_2\text{Cu}_3\text{O}_7$  (расширение зоны и относительное уменьшение полосы делокализованных состояний [6, 20, 21]) позволяет предположить, что в данном случае реализуется механизм андерсоновской локализации состояний [28]. Подобное предположение представляется оправданным, если учесть, что наличие дефицита кислорода или неизовалентной примеси приводит к разупорядочению в расположении атомов кислорода в решетке.

Ранее при обсуждении свойств  $\text{YBa}_2\text{Cu}_3\text{O}_y$  мы полагали зону симметричной. Ее возможную асимметрию можно учитывать различным образом. Здесь мы используем простой (предложенный в [6]) — введение некоторого интервала ( $bW_D$ , где  $b$  — параметр асимметрии) между центрами прямоугольников  $D(E)$  и  $\sigma(E)$ . Подобный учет асимметрии позволяет использовать в расчетах все формулы [6], только в выражениях для кинетических коэффициентов необходимо заменить  $\mu^*$  на  $\mu^* - bW_D^*$ . Заметим, что в рамках данного подхода линейность зависимости  $\rho(T)$  и качественный вид  $R_H(T)$ , наблюдавшиеся в эксперименте, сохраняются.

При количественном согласовании экспериментальных и рассчитанных в рамках асимметричной модели кривых  $S(T)$  возникает вопрос о возможной взаимной зависимости параметров  $W_D$ ,  $W_\sigma$ ,  $F$  и  $b$  и разумном сужении диапазона их варьирования. Поскольку существенного отклонения по составу и структуре исследованных образцов в рамках одной фазы не происходит, мы предположили, что для образцов фаз 2212 и 2223 величина  $C \equiv W_\sigma/W_D$ , связанная с различиями в виде функций  $D(E)$  и  $\sigma(E)$  и степенью разупорядочения решетки, не изменяется от образца к образцу, и положили ее равной  $C = 0.40$ , что типично для системы  $\text{Y}-\text{Ba}-\text{Cu}-\text{O}$  при относительно небольших отклонениях от стехиометрического состава [6]. Что касается легированных образцов, то

в этом случае при подборе параметров уже нельзя считать  $C = \text{const}$ , так как в соответствии с нашими представлениями неизовалентное замещение (в данном случае  $\text{Ca}^{2+}$  на  $\text{Nd}^{3+}$  или  $\text{Y}^{3+}$ ), вызывающее разупорядочение системы, должно приводить к андерсоновской локализации состояний на краях зоны и соответствующему уменьшению величины  $C$ . В то же время асимметрия зоны вызвана, по-видимому, особенностями ее формирования при перекрытии орбиталей атомов меди и кислорода в плоскостях  $\text{CuO}_2$ . Логично предположить, что легирование, не затрагивающее связи в этих плоскостях, не должно приводить к изменению степени асимметрии зоны. Поэтому при подборе параметров модели для образцов  $\text{Bi}_2\text{Sr}_2\text{Ca}_{1-x}(\text{Y/Nd})_x\text{Cu}_2\text{O}_y$  мы требовали выполнения условия  $bW_D \simeq \text{const}$  в рамках каждой из серий, что означает постоянство величины смещения по шкале энергий полосы делокализованных состояний относительно середины прямоугольника  $D(E)$ . Наличие этих условий позволило для всех образцов определить значения четырех параметров из согласования экспериментальных и расчетных кривых  $S(T)$  вполне однозначно.

На рис. 1 совместно с экспериментальными данными приведены расчетные кривые для нескольких однофазных образцов фаз Bi-2212 и Bi-2223. Видно, что удается достичь хорошего количественного согласия этих зависимостей. Значения параметров модели для всех образцов, представленных в табл. 1, приведены в табл. 3. В рамках каждой из фаз зонные параметры отличаются незначительно. Значения степени заполнения зоны электронами составляют  $F = 0.46 - 0.48$ , при этом для фазы 2212 характерны несколько большие ее величины. Полная эффективная ширина зоны равна 65–80 meV и 115–130 meV для фаз 2212 и 2223 соответственно. Заметим, что эта величина близка к значениям  $W_D$ , характерным для  $\text{YBa}_2\text{Cu}_3\text{O}_y$  при близких к стехиометрии составах, и хорошо согласуется с оценками, приводимыми другими авторами [8, 9, 11, 14–19]. Для обеих фаз асимметрия проводящей зоны достаточно мала, причем полоса делокализованных состояний смещена вниз по шкале энергий относительно середины пика плотности состояний. В рамках каждой из фаз величина асимметрии существенно не меняется, при этом в случае фазы 2223 зона является более асимметричной, чем в случае фазы 2212 (степень асимметрии составляет 4–5% и 2–3% соответственно).

Таблица 3  
Параметры зонного спектра образцов  $\text{Bi}(\text{Pb})-\text{Sr}-\text{Ca}-\text{Cu}-\text{O}$

Фаза 2212				Фаза 2223			
Номер образца	$F$	$W_D$ , meV	$b$	Номер образца	$F$	$W_D$ , meV	$b$
1	0.4800	60	-0.023	5	0.4670	115	-0.046
2	0.4685	80	-0.028	6	0.4656	130	-0.045
3	0.4765	65	-0.024	7	0.4620	120	-0.049
4	0.4686	78	-0.027	8	0.4680	115	-0.050
1*	0.4785	65	-0.025	5*	0.4668	115	-0.046
2*	0.4682	70	-0.027	6*	0.4655	125	-0.044
3*	0.4682	80	-0.028	7*	0.4617	115	-0.049
4*	0.4760	80	-0.022	8*	0.4682	115	-0.051

Что касается использованного нами условия  $C = 0.4$ , то необходимо отметить следующее. Каждый из параметров модели оказывает влияние на различные особенности кривых  $S(\bar{T})$ , в частности от величины параметра  $C$  зависит только низкотемпературный участок расчетной кривой  $S(T)$ . Расчеты показывают, что для исследованных образцов хорошее согласие экспериментальных и расчетных зависимостей может достигаться при варьировании величины  $C$  в достаточно узком интервале ( $C = 0.3\text{--}0.5$ ). При этом соответствующий диапазон изменения значений остальных параметров относительно приведенных в табл. 3 составляет для  $F \pm 0.004$ , для  $b \pm 0.002$  и для  $W_D \pm 10 \text{ meV}$ . Эти значения достаточно малы и их можно считать погрешностью определения модельных параметров.

Перейдем теперь к обсуждению легированных образцов. Концентрационные зависимости основных параметров зонного спектра ( $W_D$ ,  $W_\sigma$  и  $F$ ) приведены на рис. 3, 4. Конечно, использование указанного выше условия для однозначности определения этих величин может привести к некоторой неточности в их значениях. Однако, как показывают расчеты, обнаруженные тенденции в изменении зонных параметров при увеличении уровня легирования сохраняются и при отсутствии этого условия (при этом погрешность в определении зонных параметров аналогична случаю нелегированных образцов). Таким образом, рост содержания Y или Nd приводит наряду с падением  $T_c$  к увеличению степени заполнения зоны электронами, а также сильному ее расширению, которое сопровождается уменьшением относительной доли делокализованных состояний (уменьшение отношения  $W_\sigma/W_D$ ) и вызывает уменьшение значения плотности состояний на уровне Ферми. Оба этих факта хорошо согласуются как с кристаллохимическими соображениями (замена  $\text{Ca}^{2+}$  на  $\text{Nd}^{3+}$  или  $\text{Y}^{3+}$  должна приводить к увеличению числа электронов), так и с указанными выше представлениями о влиянии разупорядочения решетки на изменение параметров зонного спектра за счет механизма андерсоновской локализации состояний. Кроме того, сохраняется и характерная для  $\text{YBa}_2\text{Cu}_3\text{O}_y$  связь [6, 20, 21] между увеличением ширины зоны и падением  $T_c$  за счет уменьшения значения плотности состояний на уровне Ферми.

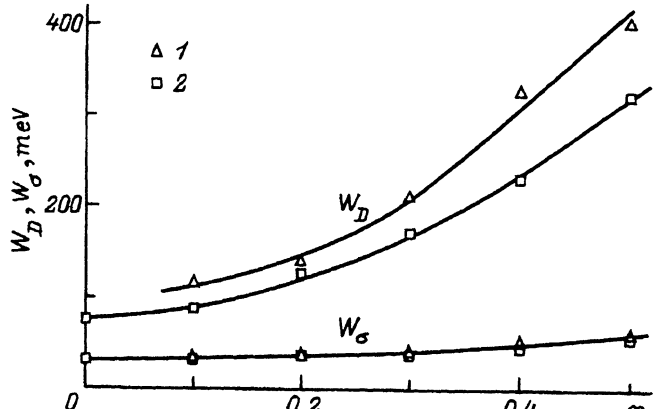


Рис. 3. Концентрационные зависимости эффективных ширин зоны в  $\text{Bi}_2\text{Sr}_2\text{Ca}_{1-x}\text{M}_x\text{Cu}_2\text{O}_y$ . М: 1 — Y, 2 — Nd.

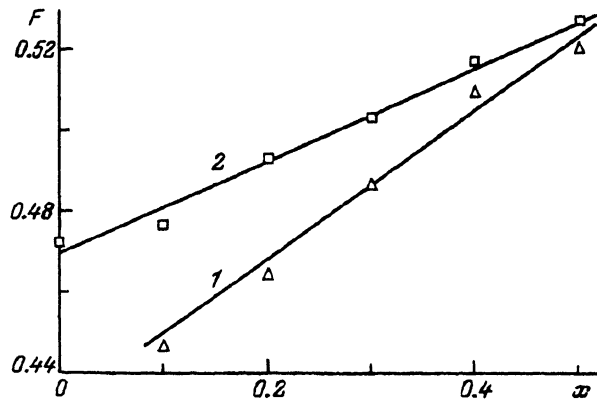


Рис. 4. Концентрационные зависимости степени заполнения зоны электронами в  $\text{Bi}_2\text{Sr}_2\text{Ca}_{1-x}\text{M}_x\text{Cu}_2\text{O}_y$ .

M: 1 — Y, 2 — Nd.

Отметим также, что рассчитанные в рамках асимметричной модели температурные зависимости других кинетических коэффициентов качественно соответствуют экспериментальным данным. Как уже указывалось,  $\rho(T)$  в этом случае сохраняет свой линейный вид, а что касается зависимостей  $R_H(T)$ , то расчеты показывают, что учет вполне вероятного различия в эффективных ширинах зоны «по электропроводности» и «по холловской электропроводности» позволяет объяснить более слабую температурную зависимость  $R_H$ , наблюдавшуюся в висмутовых ВТСП, по сравнению с иттриевыми.

Таким образом, полученные данные свидетельствуют о сходстве основных особенностей строения зонного спектра в ВТСП иттриевой и висмутовой систем и аналогичном характере изменения его параметров при отклонениях от стехиометрических составов образцов. Результаты, представленные в данной работе, подтверждают правомерность использования модели узкой зоны для описания транспортных свойств в нормальной фазе и выявления особенностей структуры зонного спектра в ВТСП-соединениях различных классов. Отметим, что анализ имеющихся в литературе данных по транспортным свойствам других ВТСП-систем, в частности  $\text{La}_{2-x}\text{Sr}_x\text{CuO}_4$  [29,30],  $\text{Tl}-\text{Ba}-\text{Ca}-\text{Cu}-\text{O}$  [31,32],  $\text{Pb}_2\text{Sr}_2(\text{Y}_{1-x}\text{Ca}_x)\text{Cu}_3\text{O}_3$  [33], позволяет утверждать, что используемая нами модель может успешно применяться и для их описания. Таким образом, наличие в структуре энергетического спектра узкой проводящей зоны может оказаться особенностью, свойственной всем классам ВТСП-соединений и, возможно, имеющей определяющее значение для реализации механизма высокотемпературной сверхпроводимости.

Полученные в работе данные о транспортных свойствах различных фаз висмутовых ВТСП-материалов в нормальной фазе и проведенный их анализ позволяют сделать следующие выводы.

1) Особенности температурных зависимостей коэффициента термоэдс в висмутовых ВТСП могут быть количественно объяснены в рамках модели узкой зоны с учетом ее незначительной асимметрии. При этом одновременно наблюдается качественное соответствие экспериментальных и расчетных температурных зависимостей других кинетических коэффициентов (удельного сопротивления и коэффициента Холла).

2) Значения основных параметров проводящей зоны и характер их изменения при отклонениях от стехиометрии путем неизовалентных катионных замещений в висмутовых и иттриевых ВТСП аналогичны, что

свидетельствует о сходстве основных особенностей строения зонного спектра в этих двух классах ВТСП-материалов.

3) Так же и в иттриевых ВТСП, падение критической температуры при изменении состава образцов в фазе Bi-2212 может быть объяснено уменьшением значения функции плотности состояний на уровне Ферми, происходящим за счет расширения проводящей зоны.

### Список литературы

- [1] Iye Y. Physica B **163**, 1/3, 63 (1990).
- [2] Lee S.G., Yi K.-S., Park C.-Y., Jang M.-S. Jap. J. Appl. Phys. **28**, 11, L1902 (1989).
- [3] Galfy M. Solid State Commun. **72**, 6, 589 (1989).
- [4] Тот И., Панова Г.Х., Горобченко В.А., Иродова А.В., Лаврова О.А., Шиков А.А. СФХТ **3**, 8, 1821 (1990).
- [5] Rao C.N.R., Ramakrishnan T.V., Kumar N. Physica C **165**, 2, 183 (1990).
- [6] Гасумянц В.Э., Казьмин С.А., Кайданов В.И., Смирнов В.И., Байков Ю.М., Степанов Ю.П. СФХТ **4**, 7, 1280 (1991).
- [7] Цидильковский В.И., Цидильковский И.М. ФММ **65**, 1, 83 (1988).
- [8] Bar-Ad S., Fisher B., Ashkenazi J., Genossar J. Physica C **156**, 5, 741 (1988).
- [9] Genossar J., Fisher B., Ashkenazi J. Physica C **162-164**, Pt. II, 1015 (1989).
- [10] Moshchalkov V.V. Physica B **163**, 1/3, 59 (1990).
- [11] Cohn J.L., Skelton E.F., Wolf S.A., Liu J.Z. Phys. Rev. B. **B45**, 22, 13140 (1992).
- [12] Мастеров В.Ф., Харченко В.А., Арутюнов Н.Ю. СФХТ **5**, 7, 1211 (1992).
- [13] Завидонов Ф.Ю., Еремин М.В., Бахарев О.Н., Егоров А.В., Налетов В.В., Тагиров М.С., Теплов М.А. СФХТ **3**, 8, 1597 (1990).
- [14] Arko A.J., List R.S., Fisk Z., Thompson J.D., O'Rourke J.A., Olson C.G., Yang A-B., Pi T-W., Schirber J.E., Shinn N.D. J. Magn. Magn. Matter. Lett. **75**, L1 (1988).
- [15] Takahashi T. Nucl. Inst. Meth. Phys. Res. Sect. A. **303**, 3, 515 (1991).
- [16] Verweij H., Feiner L.F. Phys. Rev. B **41**, 7, 4302 (1990).
- [17] Tachiki M. Proc. Symp. «Strong Correlation and Supercond. Japan» (May, 1989). P. 138-145.
- [18] Lopez-Anguilar F., Costa-Quintana J. J. Less-Common Met. **164&165**, 1473 (1990).
- [19] Jichu H., Matsuura T., Kuroda Y. J.Phys. Soc. Jap. **59**, 8, 2820 (1990).
- [20] Владими尔斯кая Е.В., Гасумянц В.Э. ФТТ **36**, 4, 1002 (1994).
- [21] Gasumyan V.E., Kaidanov V.I., Vladimirskaia E.V. Chin. J. Phys. **31**, 6-II, 999 (1993).
- [22] Koike Y., Iwabuchi Y., Hosoya S., Kobayashi N., Fukaase T. Physica C **159**, 1/2, 105 (1989).
- [23] Manthiram A., Goodenough J.B. Appl. Phys. Lett. **53**, 5, 420 (1988).
- [24] Айрапетянц С.В., Бреслер М.С. ЖТФ **28**, 7, 1935 (1958).
- [25] Константинов П.П., Васильев В.Н., Бурков А.Т., Глушкова В.Б. СФХТ **4**, 2, 295 (1991).
- [26] Гасумянц В.Э., Казьмин С.А., Кайданов В.И., Целищев В.А. СФХТ **6**, 9-10, 1836 (1993).
- [27] Madrus D., Forro L., Kendziora C., Mihaly L. Phys. Rev. B **44**, 5, 2418 (1991).
- [28] Anderson P.W. Phys. Rev. **109**, 1492 (1958).
- [29] Suzuki M. Phys. Rev. B **39**, 4, 2312 (1989).
- [30] Ando Y., Sera M., Yamagata S., Kondoh S., Onoda M., Sato M. Solid State Commun. **70**, 3, 303 (1989).
- [31] Bhatnagar A.K., Pan R., Naugle D.C., Squattrio P.J., Clearfiels A. Solid State Commun. **73**, 1, 53 (1990).
- [32] Poddar A., Mandal P., Das A.N., Ghosh B., Choudhury B. Phys. Rev. B **44**, 6, 2757 (1991).
- [33] Kosuge M., Maeda T., Sakuyama K., Yamauchi H., Koshizuka N., Tanaka S. Physica C **182**, 1/3, 157 (1991).